

# **МАТЕМАТИЧНЕ МОДЕЛЮВАННЯ СИСТЕМ І ПРОЦЕСІВ**

**Лекція 6. Введення в моделювання динамічних систем. Нерухомі точки, точки біфуркації.**

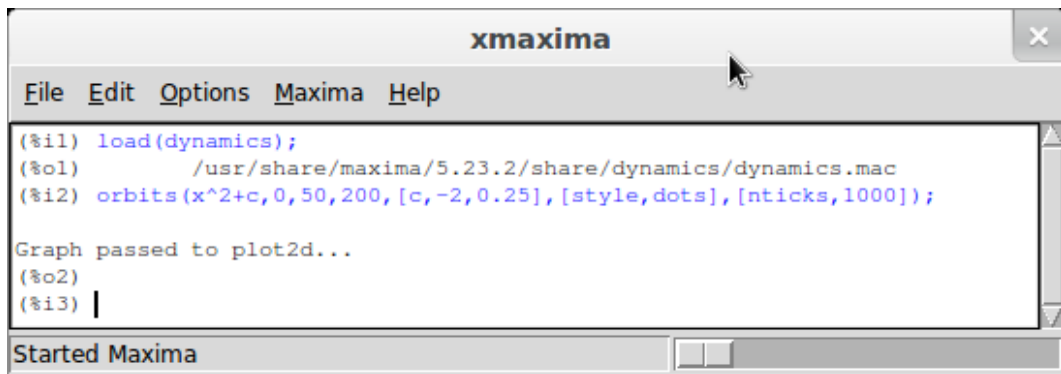
**Київ – 2015**

Во второй части нашего курса будут изложены методы построения паутиных и бифуркационных диаграмм, а также диаграмм орбит, построение странных аттракторов, кривых и поверхностей фрактального броуновского движения. Содержание этой части сфокусировано на динамических аспектах фрактальной геометрии, или на фрактальных аспектах динамических систем.

В качестве среды моделирования выбрана система компьютерной алгебры Maxima.

Первое множество, связанное с областью хаотической динамики, построим в Maxima прямо на этой странице :

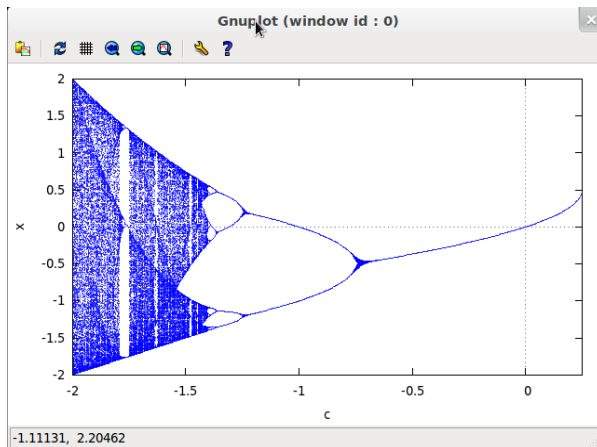
```
load(dynamics);  
orbits(x^2+c,0,50,200,[c,-2,0.25],[style,dots],[nticks,1000]);
```



The screenshot shows a window titled "xmaxima" with a menu bar containing "File", "Edit", "Options", "Maxima", and "Help". The main text area contains the following text:

```
(%i1) load(dynamics);  
(%o1) /usr/share/maxima/5.23.2/share/dynamics/dynamics.mac  
(%i2) orbits(x^2+c,0,50,200,[c,-2,0.25],[style,dots],[nticks,1000]);  
  
Graph passed to plot2d...  
(%o2)  
(%i3) |
```

At the bottom of the window, there is a status bar that says "Started Maxima" and a small icon.



Это изображение, напоминающее заснеженные горные вершины, — бифуркационная диаграмма (или диаграмма орбит), представляющая собой иллюстрацию возникновения хаоса методом удвоения периода. С этим графиком связана знаменитая универсальная константа Фейгенбаума.

В этой лекции мы рассмотрим качественное поведение некоторых дискретных динамических систем, знакомясь с различными видами их представления:

- график орбиты,
- паутиная и бифуркационная диаграмма,

а также с такими понятиями как:

- периодические точки (и их характер),
- точки бифуркации,
- константа Фейгенбаума,
- унимодальные отображения и
- «переход к хаосу с помощью удвоения периода».

## 1.1 Паутинные диаграммы

Неподвижной точкой отображения (функции)  $f: \mathbb{R} \rightarrow \mathbb{R}$  называется точка  $x_f \in \mathbb{R}$ , для которой  $f(x_f) = x_f$ . неподвижные точки отображений имеют большое значение в различных областях математики. Например, известный метод Ньютона нахождения нулей функции опирается именно на теорию неподвижной точки.

Орбитой точки  $x \in \mathbb{R}$  называется последовательность точек

$$x, f(x), f(f(x)), \dots, f^{(n)}(x), \dots \quad (1.1)$$

Орбиту точки можно изобразить на графике как последовательность точек  $(0, x_0), (1, x_1), \dots, (n, x_n)$ , где  $x_{k+1} = f(x_k)$ . Последовательность  $\{x_k\}$  можно задать так:

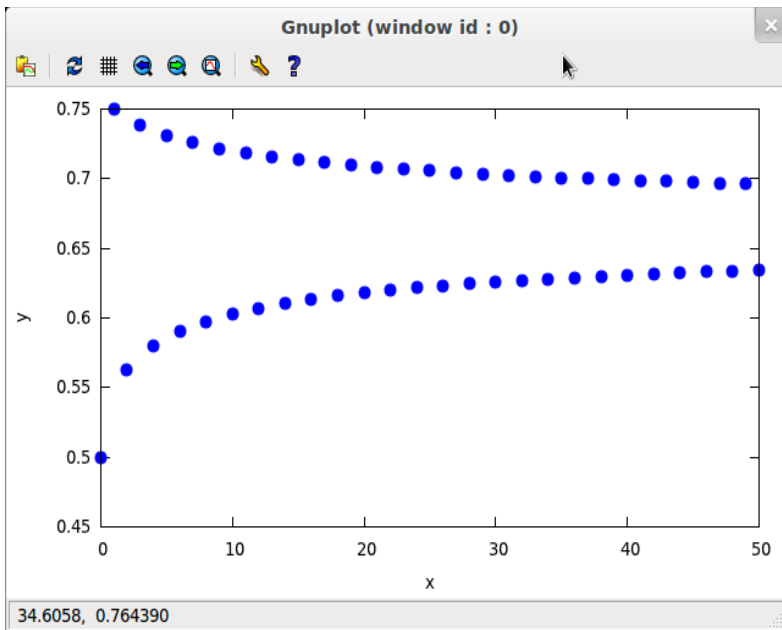
```
п f(x):=3*x*(1-x)$
п x[0]:0.5$
п for i:0 thru 50 do x[i+1]:f(x[i])$
```

Отообразим данную последовательность на графике:

```
п orb:makelist([i,x[i]],i,0,50))$
п plot2d([discrete,orb],[style,points])$
```

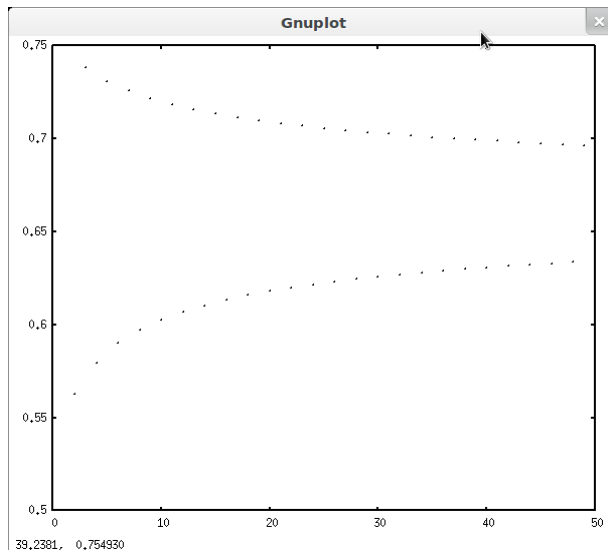
```
(%i3) f(x):=3*x*(1-x);
(%o3) f(x) := 3 x (1 - x)
(%i4) x[0]:0.5;
(%o4) 0.5
(%i5) for i:0 thru 50 do x[i+1]:f(x[i]);
(%o5) done
(%i6) orb:makelist([i,x[i]],i,0,50));
incorrect syntax: Too many ')'s
st([i,x[i]],i,0,50))
      ^

(%i6) orb:makelist([i,x[i]],i,0,50);
(%o6) [[0, 0.5], [1, 0.75], [2, 0.5625], [3, 0.73828125],
[4, .5796661376953125], [5, .7309599195141345],
[6, .5899725467340735], [7, .7257148225025549],
[8, .5971584567079203], [9, .7216807028704055],
[10, .6025729979246489], [11, .7184363402902498],
[12, .6068566957218066], [13, .7157449397382518],
[14, .6103623629320143], [15, 0.713460446544187],
[16, .6133039132834688], [17, .7114866697039566],
[18, .6158201656125887], [19, .7097570677124175],
[20, .6180059176340649], [21, .7082238102100269],
[22, .6199285345848561], [23, 0.706851439776987],
[24, .6216374455865626], [25, .7056129954935281],
[26, .6231698882525353], [27, .7044875358835738],
[28, .6245545430047923], [29, .7034584974506021],
[30, .6258139194454301], [31, .7025125730213365],
[32, .6269659733048335], [33, 0.701638924868269],
[34, .6280252319339057], [35, .7008286199648089],
```

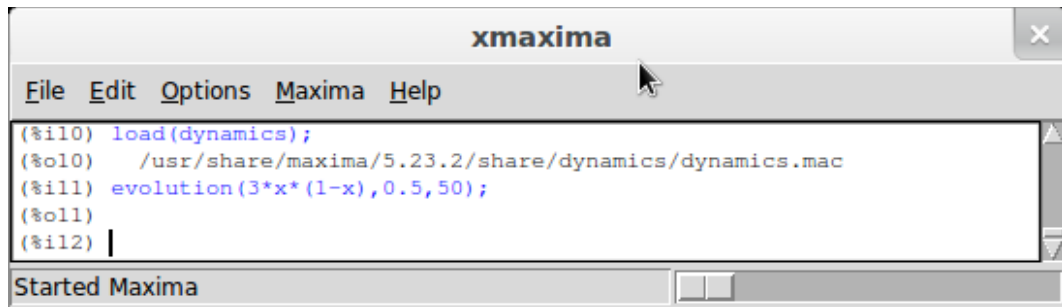




КОММЕНТАРИЙ. Последнюю строчку можно заменить на  
`load(draw)$`  
`draw2d(point_type=filled_circle,points(orb))$`



Гораздо проще для аналогичного представления орбит использовать команду `evolution` пакета `dynamics`:



The screenshot shows a window titled "xmaxima" with a menu bar containing "File", "Edit", "Options", "Maxima", and "Help". The main text area contains the following code:

```
(%i10) load(dynamics);  
(%o10) /usr/share/maxima/5.23.2/share/dynamics/dynamics.mac  
(%i11) evolution(3*x*(1-x), 0.5, 50);  
(%o11)  
(%i12) |
```

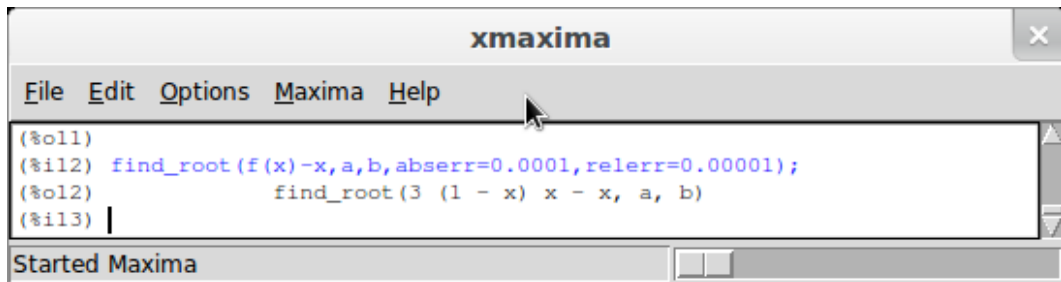
At the bottom of the window, there is a status bar that says "Started Maxima" and a small icon.

Неподвижная точка  $x_f$  называется *притягивающей (аттрактором)*<sup>2</sup>, если существует её окрестность  $U(x_f)$ , для любой точки  $x \in U(x_f)$  которой  $\lim_{n \rightarrow \infty} f^{(n)}(x) = x_f$ . Если функция  $f$  дифференцируема, то в притягивающей неподвижной точке  $f(x_f) = x_f, |f'(x_f)| < 1$ .

Неподвижная точка называется *отталкивающей (репеллером)*, если для любой точки  $x \in \check{U}(x_f)$  любой её проколотой окрестности  $f^{(n)}(x) \not\rightarrow x_f$ . Если функция  $f$  дифференцируема, то в притягивающей неподвижной точке  $f(x_f) = x_f, |f'(x_f)| > 1$ .

В Maxima неподвижную точку отображения  $f(x)$  на отрезке  $[a, b]$  можно искать командой `find_root(f(x)-x, a, b)`, в которой возможно указать точность вычисления:

- `find_root(f(x)-x, a, b, abserr=0.0001, relerr=0.00001)`



```
xmaxima
File Edit Options Maxima Help
(%o11)
(%i12) find_root(f(x)-x, a, b, abserr=0.0001, relerr=0.00001);
(%o12) find_root(3 (1 - x) x - x, a, b)
(%i13) |
Started Maxima
```

\* Проколотой окрестностью точки называется окрестность точки, из которой исключена эта точка.

Пакет `newton1` позволяет находить неподвижные точки в окрестности данной точки  $x_0$  методом Ньютона с точностью `eps` (то есть  $f(x) \approx x$  с погрешностью не больше `eps`):

- `load (newton1)$`  
`newton(f(x)-x,x,x_0,eps)`

Сосчитаем модуль производной функции  $f(x)$  для нахождения типа неподвижной точки  $x_f = a$ :

- `at(abs(diff(f(x),x)), [x=a])`

`diff(f(x),x)` — возвращает производную функции  $f$  по переменной  $x$ ;

`diff(f(x),x,k)` — возвращает производную  $k$ -го порядка функции  $f$  по переменной  $x$ ;

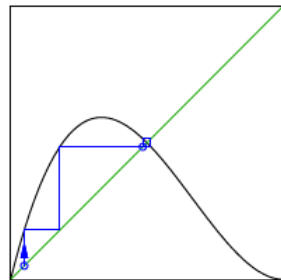
`at(g(x), [x=a])` — возвращает значение выражения  $g(x)$  в точке  $x=a$ .

Неподвижные точки находятся методом итераций  $f^{(n)}(x_0) \rightarrow x_f$ . Процесс сходимости (или же, наоборот, расходимости, а также более сложные типы поведения данной динамической системы<sup>3</sup>) удобно изображать графически с помощью «паутинных диаграмм».

*Паутинная диаграмма* — это отображение в одной системе координат графика функции  $f(x)$ , диагонали  $y = x$  и представляющей итерационный процесс ломаной линии с вершинами в точках

$$(x_0, x_0), (x_0, x_1), (x_1, x_1), (x_1, x_2), \dots,$$

$$x_n = f(x_{n-1}), n = 1, 2, \dots$$





## ПОСТРОЕНИЕ ПАУТИННОЙ ДИАГРАММЫ

```
1 load(draw)$
2 [a,b]: [0,1]$           /* левая и правая границы: a<=x<=b */
3 x0: 0.05$              /* начальная точка */
4 level: 10$            /* число итераций */
5 f(x):=4*x(1-x)$      /* исходная функция */
6
7 path:[[x0,x0]]$      /* массив вершин ломаной */
```

```

8
9 thru level do(                               /* построение ломаной path */
10     y0: f(x0),
11     path: append(path,[[x0,y0],[y0,y0]]),
12     x0: y0
13 )$
14 draw2d(
15     color=black,
16     explicit(f(x),x,a,b),                     /* отображаем функцию f */
17     color="#23AB0F",
18     explicit(x,x,a,b),                       /* отображаем диагональ y=x */
19     color=blue,
20                                             /* отображаем концевые точки ломаной окружностями: */
21     point_type=circle,point_size=1, points([path[1],last(path)]),
22     point_type=dot,points_joined=true,points(path), /* отображаем ломаную */
23     /* отображаем вектор направления итераций вдоль первого ребра ломаной */
24     head_length = 0.05, head_angle=13, vector(path[1],0.6*(path[2]-path[1])),
25     user_preamble="set size ratio -1"
26 )$

```

Замечания об использованных командах:

`color=black` — определение цвета для графики (например: blue, red, green, magenta, black, cyan). В пакете `draw` есть 83 именных цвета (см. в справке по `MAXIMA`), другие цвета можно определять в шестнадцатеричной системе счисления в формате `#RRGGBB`: `color="#23AB0F"`;

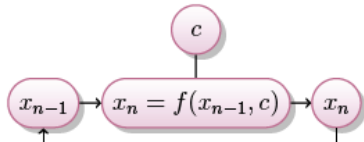
`explicit(f(x),x,a,b)` — график явно заданной функции  $f(x)$ ,  $x \in [a, b]$ ;



## 1.2 Бифуркационная диаграмма

В математике, особенно при изучении динамических систем, под понятием *бифуркационная диаграмма*<sup>4</sup> подразумевают изображение на рисунке смены возможных динамических режимов системы (равновесных состояний, неподвижных точек, периодических орбит и пр.) при изменении значения бифуркационного параметра.

Рассмотрим динамическую систему с параметром  $c \in C$ :

$$\begin{aligned} f: U \times C &\rightarrow U, \quad U, C \subset \mathbb{R}, \\ x_n &= f(x_{n-1}, c), \quad n = 1, 2, \dots, \quad x_0 \in U. \end{aligned} \tag{1.2}$$


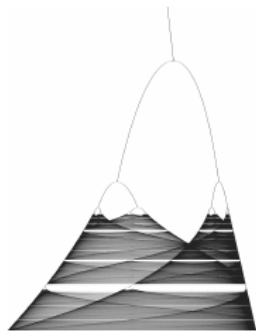
Требуется изобразить зависимость наличия стабильных периодических точек отображения  $f$  от изменения параметра  $c$ . Будем отмечать по оси ординат параметр  $c$ , а по оси абсцисс — соответствующие этому значению параметра стабильные периодические точки.

---

<sup>4</sup> Иногда её называют диаграммой орбит

Находить аналитически<sup>5</sup> и исследовать на стабильность характер периодических точек достаточно трудоемко: нужно решать уравнения  $f^{(n)}(x, c) = x$ ,  $n = 0, 1, \dots$ , а затем исследовать  $\left| \frac{d}{dx} f^{(n)}(x, c) \right|$ .

Наиболее эффективным и простым способом построения такой диаграммы является следующий. Разбив область  $U$  на сетку значений, для каждого из них запустим итерационный процесс (1.2) (с произвольной, но не отталкивающей начальной точкой) и будем отрисовывать  $N$  точек орбиты, откинув первые *skip* значений<sup>6</sup>. При сравнительно большом *skip* наша орбита притянется к стабильной периодической орбите. Тогда на рисунке будет видно, группируются ли точки в кластеры, соответствующие стабильным (притягивающим) периодическим точкам (маловероятно появление на графике нестабильных периодических точек, почему?). Таким образом, вне хаотических областей параметра  $c$  ветви бифуркационной диаграммы состоят из притягивающих точек  $x$  периода  $2^n$  ( $n \in \mathbb{N}$ ):  $\left| \frac{d}{dx} f^{(2^n)}(x, c) \right| < 1$ .




---

<sup>5</sup> Например, для отображения  $f(x) = 4x(1 - x)$  есть простая формула  $x_n = \sin^2(2^n \pi \theta)$ ,

$$\left( \theta = \frac{1}{\pi} \arcsin^{-1} \sqrt{x_0} \right)$$

## АЛГОРИТМ 1.2: ПОСТРОЕНИЕ БИФУРКАЦИОННОЙ ДИАГРАММЫ

---

**Вход:**  $f(x, c)$ ; ☞ итерируемая функция  
 $[c_1, c_2]$ ; ☞ область изменения параметра  $c$   
 $prec$ ; ☞ количество точек для деления отрезка  $[c_1, c_2]$   
 $N$ ; ☞ количество отображаемых точек при каждом  $c$   
 $skip$ ; ☞ количество пропущенных начальных точек при каждом  $c$   
 $x_0$ ; ☞ произвольная точка из области определения функции  $f(x)$

**Выход:** изображение бифуркационной диаграммы.

---

- 1:  $path = \emptyset$ ; ☞ инициализация массива точек графика
  - 2:  $c = c_1$ ; ☞ значение  $c$  будет меняться от  $c_1$  до  $c_2$
  - 3: **повторять**  $prec$  раз
  - 4:  $c = c + \frac{c_2 - c_1}{prec}$ ;
  - 5: **повторять**  $skip$  раз
  - 6:  $x_0 = f(x_0, c)$ ;
  - 7: **повторять**  $N$  раз
  - 8:  $x_0 = f(x_0, c)$ ;
  - 9:  $path = path \cup \{x_0, c\}$
  - 10: отобразить точки из массива  $path$  на дисплее.
-

ПОСТРОЕНИЕ ВИФУРКАЦИОННОЙ ДИАГРАММЫ (ДЛЯ  $f(x) = cx(1-x)$ )

```
1 load(draw)$
2 [c1,c2]: [-2,-0.7]$ /* левая и правая границы: c1<=c<=c2 */
3 f(x):=c*x*(1-x)$ /* исходная функция */
4
5 prec: 150$ /* число точек деления c */
6 N:120$ /* число отображаемых точек при каждом c */
7 skip:30$ /* число пропущенных первых точек при каждом c */
8
9 x0: 0.4$ /* начальная точка */
10 path: []$ /* массив точек графика */
11 c:c1$
12
13 thru prec do(
14     c:c+(c2-c1)/prec,
15     thru skip do x0: f(x0), /* пропускаем первые skip точек */
16     thru N do /* добавляем в массив последующие N точек */
17         x0: f(x0),
18         path: endcons([x0,c],path)
19     )
20 )$
21
22 draw2d(point_type=dot,points(path),user_preamble="set size ratio -1")$
```

Самым известным и первым примером динамической системы, обладающей загадочной бифуркационной диаграммой<sup>7</sup>, является логистическое<sup>8</sup> отображение

$$f: [0, 1] \ni x \mapsto cx(1 - x) \in [0, 1], \quad c \in [0, 4]. \quad (1.3)$$

Его часто приводят в пример того, как из очень простых нелинейных уравнений может возникать сложное, хаотическое поведение. Это отображение популяризовал биолог Роберт Мэй (1976), хотя впервые его аналог был рассмотрен Пьером Франсуа Ферхюльстом<sup>9</sup> (1838). Динамическая модель  $x_n = cx_{n-1}(1 - x_{n-1})$  описывает численность биологической популяции в дискретные моменты времени:  $x_n \in [0, 1]$  представляет относительный размер популяции в год  $n$ , множитель  $c$  — это скорость роста популяции (с учетом её репродукции и гибели в результате перенаселения и нехватки ресурсов).

## 1.3 Универсальность Фейгенбаума

Митчелл Фейгенбаум<sup>10</sup> [8, 9] описал механизм «получения хаоса с помощью удвоения периода» и заметил, что он возникает не только при итерациях логистического отображения, но и для других двузначных отображений интервала в себя, таких как  $x^2 + c$ ,  $c \sin \pi x$ ,  $c x^2 \sin \pi x$ .

Обозначим через  $c_0, c_1, \dots$  точки бифуркации на бифуркационной диаграмме, то есть точки  $c_n$ , в которых итерации  $f(x, c)$  сменяют притягивающую орбиту периода  $2^{n-1}$  на притягивающую орбиту периода  $2^n$ .

М. Фейгенбаум заметил, что для вышеупомянутых отображений существует конечный предел<sup>11</sup>  $c_\infty, c_n \rightarrow c_\infty$ , иногда называемый *точкой Фейгенбаума*. При этом при  $c \rightarrow c_\infty - 0$  происходит удвоение периода, а участок  $c > c_\infty$  называется областью хаоса. Он также заметил, что отношение длин последовательных интервалов между точками бифуркаций имеет «универсальный» предел<sup>12</sup>, называемый *константой Фейгенбаума*<sup>13</sup>:

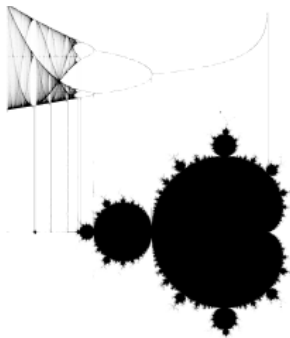
$$\delta = \lim_{n \rightarrow \infty} \frac{c_n - c_{n-1}}{c_{n+1} - c_n} = 4,66920160910299067185320382046620161725818557747$$

576863274565134300413433021131473713868974402394801381716...

Этот предел характеризует скорость перехода динамической системы, испытывающей удвоение периода, к хаотическому поведению.

Оказалось, что одинаковое поведение: области удвоения на диаграмме орбит, один и тот же предел  $\delta$ , «хаотическое» поведение — имеют многие унимодальные (одногорбые) отображения интервала в себя, и константа  $\delta$  помогает предсказывать наступление «хаоса». Известна связь константы Фейгенбаума и множества Мандельброта: диаметры больших окружностей на вещественной оси равны периодам удвоения  $c_n$  для отображения  $f(x, c) = c - x^2$ , и  $\delta$  совпадает с пределом отношения этих убывающих диаметров.

В настоящее время не известны необходимые и достаточные критерии, позволяющие утверждать, что произвольное семейство отображений  $f(x, c)$  обладает вышеупомянутыми свойствами. Однако частичные ответы, среди каких функций искать такие отображения, дают следующая теорема Давида Зингера и условия соответствующих теорем из [10, 8].





Д. Зингер [11] впервые использовал *производную Шварца* для исследования динамики отображений отрезков и обратил внимание на важность условия отрицательного *шварциана*

$$Sf(x) \equiv \frac{f'''(x)}{f'(x)} - \frac{3}{2} \left( \frac{f''(x)}{f'(x)} \right)^2.$$

Сосчитаем его в MAXIMA:

```
Sf(x):=block([u],
  at(diff(f(u),u,3)/diff(f(u),u)-1.5*(diff(f(u),u,3)/diff(f(u),u,2))^2,
    [u=x])
  )$
```

```
xmaxima
File Edit Options Maxima Help
(%i1) Sf(x):=block([u],
at(diff(f(u),u,3)/diff(f(u),u)-1.5*(diff(f(u),u,3)/diff(f(u),u,2))^2,
[u=x])
);
(%o1) Sf(x) := block([u], at(----- - 1.5 (-----),
diff(f(u), u) diff(f(u), u, 2)
[u = x]))
(%i2) |
Started Maxima
```

`block`( $[x_1, \dots, x_n], f_1, \dots, f_k$ ) — выполняет команды  $f_1, \dots, f_k$  и возвращает значение последнего выражения  $f_k$ , считая  $x_1, \dots, x_n$  локальными переменными. Заметим, что желательно вводить локальные переменные при определении функций. Подумайте, почему?

**Теорема 1.1** (Д. Зингер, см. [11], [2, Appendix D]). Пусть  $f: [0, 1] \rightarrow [0, 1]$ ,  $f \in C^3$ , причём

- $f(0) = f(1) = 0$ ;
- существует единственная критическая точка  $x_0 \in [0, 1]: f'(x_0) = 0$ ;
- $Sf(x) < 0 \quad \forall x \in [0, 1]$ .

Тогда в  $(0, 1)$  существует не более одной стабильной периодической орбиты для  $f$ . Если такая орбита существует, то ее точки — предельные для орбиты критической точки  $x_0$ .

Итак, динамические системы, обладающие описанными универсальными свойствами диаграмм удвоения периода, следует искать среди унимодальных (одногорбых) отображений  $f(x, c)$  (т.е.  $f : [a, b] \ni x \mapsto f(x, c) \in [a, b]$  — непрерывно, имеет единственный максимум в точке  $x_0 \in (a, b)$  и  $f(a) = f(b)$ ). Кроме того, следует обратить внимание на отрицательность шварциана.

Каким образом можно вычислять точки бифуркации  $c_n$ ? Аналитическое нахождение  $c_n$  связано с вычислением критических точек отображений  $f^{(n)}(x, c)$ , что в большинстве случаев практически невыполнимо. Экспериментально эти значения можно найти при построении бифуркационной диаграммы. Однако наша цель — подсчитать константу  $\delta$ , и это можно сделать без нахождения  $c_n$ . Рассмотрим *прямой* способ вычисления константы  $\delta$  [1, гл. 6]. Нам понадобится следующая лемма.

**Лемма 1.1.** Пусть  $x_0 = x_0(c)$  — единственная критическая точка отображения  $f(x, c)$  и  $x$  — сверхпритягивающая точка периода  $n$ . Тогда  $x$  принадлежит орбите  $x_0$ . В частности,  $x_0$  — тоже сверхпритягивающая точка периода  $n$ .

Можно доказать, что

$$\delta = \lim_{n \rightarrow \infty} \frac{c_n^* - c_{n-1}^*}{c_{n+1}^* - c_n^*}, \quad (1.4)$$

что и является прямым способом нахождения  $\delta$  (в отличии от способа ренормализации<sup>15</sup>).

### АЛГОРИТМ 1.3: НАХОЖДЕНИЕ КОНСТАНТЫ ФЕЙГЕНБАУМА (В ОБЩИХ ЧЕРТАХ)

---

**Вход:**  $f(x, c)$ ;       $\Rightarrow$  функции с параметром  $c$ , для которых ищется константа Фейгенбаума  
 $n$ ;       $\Rightarrow$  количество точек  $c_i^*$  для подсчёта предела  $\delta$

**Выход:** массив значений  $\{\delta_i\}_{i=1}^n$ ,  $\delta \approx \delta_n$ .

---

1:  $x_0$ ;       $\Rightarrow$  находим единственную критическую точку для  $f(x)$ :  $f'_x(x_0, c) = 0$

2:  $\{c_0^*, c_1^*, \delta_1\} = \{0, 1, 3.2\}$ ;       $\Rightarrow$  начальные приближения для вычислений

3: для  $i = 2, \dots, n$

4:  $c_i^*$ ;       $\Rightarrow$  находим корень  $c$  уравнения  $f^{(2^i)}(x_0, c) = x_0$ .

*Для этого можно воспользоваться методом Ньютона с начальным приближением  $c = c_{i-1}^* + \frac{c_{i-1}^* - c_{i-2}^*}{\delta_{i-1}}$ . Поскольку у функции  $f^{(2^i)}$  имеется много плотно расположенных нулей  $c$ , угадывание значения начального приближения с помощью приближённого значения  $\delta \approx \delta_{i-1}$  существенно влияет на точность вычислений*

5:  $\delta_i = \frac{c_{i-1}^* - c_{i-2}^*}{c_i^* - c_{i-1}^*}$ ;

---

В приведённом Алгоритме 1.3 особого внимания заслуживает строка 4. Для решения уравнения  $f^{(2^i)}(x_0, c) = x_0$  относительно переменной  $c$  можно воспользоваться средствами Махима<sup>16</sup>. Здесь сложность решения заключается в том, что степень<sup>17</sup> уравнения экспоненциально растёт, например, при  $f(x, c) = c - x^2$  и  $i = 4$  ( $x_0 = 0$ ) получаем уравнение

$$c - (c - (c - (c - (c - (c - (c - (c - (c - (c - (c - (c - (c - (c - (c - c^2)^2)^2)^2)^2)^2)^2)^2)^2)^2)^2)^2 = 0.$$

Чтобы взять ситуацию в свои руки, опишем, как можно эффективно реализовать метод Ньютона в данном случае. Введем две последовательности функций (или выражений):

$$\begin{aligned} \text{для } k \geq 1 \quad B_k(c) &= f(B_{k-1}(c), c), & B_0(c) &= x_0; \\ D_k(c) &= B_k(c)'_c, & D_0(c) &= 0. \end{aligned}$$

Тогда

$$\begin{aligned} B_k(c) &= f^{(k)}(x_0, c) & \text{и} \\ D_k(c) &= B_k(c)'_c = f'_x(B_{k-1}(c), c)D_{k-1}(c) + f'_c(B_{k-1}(c), c). \end{aligned}$$

Запишем метод Ньютона для нашего уравнения  $B_{2^i}(c) - x_0 = 0$ :

$$\tilde{c}_n = \tilde{c}_{n-1} - \frac{B_{2^i}(\tilde{c}_{n-1}) - x_0}{(B_{2^i}(\tilde{c}_{n-1}) - x_0)'_c} = \tilde{c}_{n-1} - \frac{B_{2^i}(\tilde{c}_{n-1}) - x_0}{B_{2^i}'_c(\tilde{c}_{n-1})} = \tilde{c}_{n-1} - \frac{B_{2^i}(\tilde{c}_{n-1}) - x_0}{D_{2^i}(\tilde{c}_{n-1})},$$

$\tilde{c}_0$  — начальное приближение корня,  $n = 1, 2, \dots$

Таким образом, для вычисления корня  $c_i^*$  не нужно решать уравнение степени  $2^i$ , а достаточно итеративно вычислять функции  $B_k(c)$  и  $D_k(c)$  и, затем, значения этих функций в точках  $c_n$ .

---

---

АЛГОРИТМ 1.4: НАХОЖДЕНИЕ КОНСТАНТЫ ФЕЙГЕНБАУМА (ПОДРОБНЕЕ)

---

---

**Вход:**  $f(x, c)$ ;       $\hookrightarrow$  функции с параметром  $c$ , для которых ищется константа Фейгенбаума  
 $\varepsilon$ ;       $\hookrightarrow$  точность промежуточных вычислений  
 $n$ ;       $\hookrightarrow$  количество точек  $c_i^*$  для подсчёта предела  $\delta$

**Выход:** массив значений  $\{\delta_i\}_{i=1}^n$ ,  $\delta \approx \delta_n$ .

---

- 1:  $x_0$ ;       $\hookrightarrow$  находим единственную критическую точку для  $f(x)$ :  $f'_x(x_0, c) = 0$
- 2:  $\{c_0^*, c_1^*, \delta_1\} = \{0, 1, 3.2\}$ ;       $\hookrightarrow$  начальные приближения для вычислений
- 3:  $B(c) = f(f(x_0))$        $\hookrightarrow B(c) = B_2(c)$
- 4:  $D(c) = f'_x(f(x_0), c)f'_c(x_0, c) + f'_c(f(x_0), c)$        $\hookrightarrow D(c) = D_2(c)$
- 5: для  $i = 2, \dots, n$
- 6:  $c = c_{i-1}^* + \frac{c_{i-1}^* - c_{i-2}^*}{\delta_{i-1}}$ ;       $\hookrightarrow$  начальное приближение для метода Ньютона
- 7: **повторять**  $2^{i-1}$  раз
- 8:  $D(c) = f'_x(B(c), c)D(c) + f'_c(B(c), c)$ ; .       $\hookrightarrow$  цикл вычисляет  $B_{2^i}(c)$  и  $D_{2^i}(c)$  по  
предыдущим значениям  $B_{2^{i-1}}(c)$  и  $D_{2^{i-1}}(c)$
- 9:  $B(c) = f(B(c), c)$ ;
- 10:  $C_{old} = 0$ ;
- 11: **повторять**



- 12:  $C_{old} = C;$   
13:  $C = C - \frac{B(C) - x_0}{D(C)};$   
14: **пока не**  $\frac{|C - C_{old}|}{C} < \varepsilon$   
15:  $c_i^* = C;$   
16:  $\delta_i = \frac{c_{i-1}^* - c_{i-2}^*}{c_i^* - c_{i-1}^*};$

☞ в этом цикле ищем корень  $B_{2^i}(C) = x_0$  методом Ньютона  
☞ итерации методом Ньютона:  $\tilde{c}_n = \tilde{c}_{n-1} - \frac{B_{2^i}(\tilde{c}_{n-1}) - x_0}{B_{2^i}'(\tilde{c}_{n-1})}$

## НАХОЖДЕНИЕ КОНСТАНТЫ ФЕЙГЕНБАУМА

```
1 f(x):=c-x^2$ /* изучаемая функция */
2 x0:0$ /* единственная критическая точка функции f */
3 [c[0],c[1],d[1]]:[0,1,3.2]$ /* начальные приближенные значения */
4
5 B:f(f(x0))$ /* начальные значения для B и D */
6 D:1-2*f(x0)$
7 n:8$ /* количество точек для подсчета предела d */
8 eps:10^-8$ /* точность промежуточных вычислений */
```

```

9
10 for i:2 thru n do
11   (
12     C:c[i-1]+(c[i-1]-c[i-2])/d[i-1], /* начальное приближение для метода Ньютона */
13     thru 2^(i-1) do /* итерируем B и D */
14       (
15         D:1-2*B*D,
16         B:f(B)
17       ),
18     C_old:0,
19     unless abs(C-C_old)/C<eps do /* запускаем метод Ньютона */
20       (
21         C_old:C,
22         C:C-at((B-x0)/D,[c=C])
23       ),
24     c[i]:C,
25     d[i]:(c[i-1]-c[i-2])/(c[i]-c[i-1]),
26     print(d[i]) /* выводим на экран значение d[j] */
27   )$

```

Замечания об использованных командах:

строчки 20–26 реализуют метод Ньютона для поиска корней уравнения  $V=x_0$ , их можно заменить одной командой:

```
c[i]:newton(V-x0,c,C,eps),
```

убрав за ненадобностью строчку 17 (напомним, для этого надо подключить пакет `load(newton1)`).

`unless cond do smth` — цикл: пока выполняется условие *cond* выполнять действие *smth*.

## ДОМАШНЕ ЗАВДАННЯ



Изобразить бифуркационную диаграмму возмущённой логистической функции  $f(x) = cx(1-x)(1+a \sin bx)$ ,  $a = -0.015$ ,  $b = 31.6$  ([2, Appendix D]). Что происходит с производной Шварца для данной функции?